

愛媛大学 正員 見沢繁光, 正員 大賀水田生
徳山高尙 正員 重松恒美, 正員○原 隆

1. 概 説

補剛材のねじりの影響を考慮した補剛板の従来の座屈解析に加えて、補剛材を梁として解析した場合に注目し、補剛材の剛性比の増加に伴う、て座屈係数は増加し、容易にその上限値が求められない。そこで、補剛材を板として扱い、補剛材自体の座屈も考慮して解析した解と比較することにより、座屈係数の上限値を求めていきたい。本研究では、この方法を、せん断変形の大きさ shear-elastic plate (例えばサンドイッチ板等) が、補剛材により準線支持された状態の座屈解析に適用し、通常の板の場合と同様に、まず、補剛材を、曲げ、ねじり、そり剛性を有する梁として解析を行ない、座屈係数を求める。また、補剛材の形状寸法により、補剛材が板として座屈することを考慮し、板としての解析も行なった。この両者の解をもとに座屈係数を決定し、ねじりの影響を無視して得られた従来の解⁽¹⁾と比較検討を行なった。

2. 解析方法

図1に示すように、荷重を受けた二辺が単純支持された shear-elastic plate の微分方程式は、せん断変形を考慮した板要素のつくりから導かれ、せん断力に応力関数、たわみに変位関数を導入し、さらに状態量 [Z] として、変位量 \bar{w} , $\bar{\theta}_x$, $\bar{\theta}_y$, 断面力 \bar{M}_{xy} , \bar{M}_x , \bar{M}_y を用いれば、[6×6] の格点マトリックス [F] が求められる。⁽²⁾

次に、図2に示す補剛材の前後の状態量を $[Z_1]$, $[Z_{2+}]$ とし、補剛材を梁として、ねじりの影響を考慮すれば、次式となる。

$$\left. \begin{aligned} W_{1+} &= \bar{w}_c, \quad \bar{q}_{y1+} = \bar{q}_{y1}, \quad \bar{q}_{x1+} = \bar{q}_{x1} \\ \bar{M}_{xy1+} &= \bar{M}_{xy1} + A \cdot (\frac{L}{S}-1) \bar{w}_c + A \cdot (1-\nu) \bar{q}_{x1} - A \bar{M}_{y1} \\ \bar{M}_{y1+} &= \bar{M}_{y1} + A \bar{q}_{y1} - A \left(\frac{M}{K} \right) \frac{L}{S} \bar{q}_{y1} \\ \bar{Q}_{y1+} &= \bar{Q}_{y1} - \left\{ A \left(\frac{L}{S}-1 \right) + \frac{EJ_x}{K} \left(\frac{M}{K} \right) - \frac{\sigma F_x}{K} \left(\frac{M}{K} \right) \right\} \bar{w}_c \\ &\quad - A \cdot (1-\nu) \bar{q}_{x1} + A \bar{M}_{y1} \\ A &= \frac{GJ_x}{K} + \frac{EJ_x}{K} \left(\frac{M}{K} \right)^2 - \frac{\sigma F_x}{K} \left(\frac{M}{K} \right)^2 \end{aligned} \right\} \quad (1)$$

ここに、E, G; 補剛材の弾性係数及びせん断弹性係数, K, S; 板の曲げ剛性及びせん断剛性, R, J; 単位幅から単位面積当たりの圧縮力, F; ポアソン比, ν ; 補剛材の断面積, A , C_m ; 補剛材のねじり抵抗及びそり抵抗, \bar{M}_{y1} ; 補剛材の極慣性モーメント及び慣性モーメントである。(1)式に上述の状態量やトルクを用いて、マトリックス表示を行なえば [6×6] の格点マトリックス [R] が得られる。(表1参照)

2-1. 補剛材を梁として解析する方法

図2に示すように、補剛材をねじりと軸力を受ける梁として解析

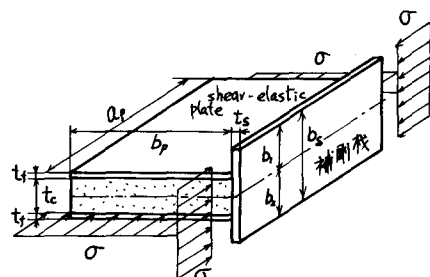


図1 荷重支持状態

表1 格点マトリックス

1	0	0	0	0	0	0
0	1	0	0	0	0	0
0	0	1	0	0	0	0
R ₄₁	0	R ₄₃	1	R ₄₅	0	
0	R ₅₂	0	0	1	R ₅₆	
R ₆₁	0	R ₆₃	0	R ₆₅	1	

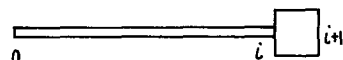


図2 梁とした補剛材モデル

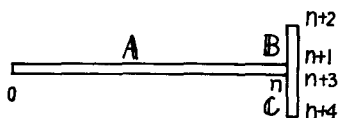


図3 板とした補剛材モデル

3.3 と 2. 状態量 $[z_0]$ と $[z_{\text{CH}}]$ には.

$$[z_{\text{CH}}] = [L] \cdot [F] \cdot [z_0] = [L] \cdot [z_0] \quad (2)$$

という関係があるから、 $[z_0]$, $[z_{\text{CH}}]$ の境界条件を考慮すれば、座屈条件式が得られる?

2-2. 補剛材を板として解析する方法

補剛材の剛性が増し、格点で node には、たとえ補剛材に格間ストリップス $[F]$ を適用し、板として解析を行なう。

格点で i は、 $\bar{W}_i = \bar{W}_{i+1} = \bar{W}_{i+2} = 0$, $\bar{\psi}_{x,i} = \bar{\psi}_{x,i+1} = \bar{\psi}_{x,i+2}$
 $= 0$, $\bar{\psi}_{y,i} = \bar{\psi}_{y,i+1} = \bar{\psi}_{y,i+2}$ であるから、それまでの伝達式は、次式となる。(図 3 参照)

$$\begin{bmatrix} 0 \\ \bar{\psi}_{y,i} \\ 0 \\ \bar{M}_{xy,i} \\ \bar{M}_{y,i} \\ \bar{Q}_{y,i} \end{bmatrix} = A \cdot \begin{bmatrix} D_0 \end{bmatrix}$$

$$\begin{bmatrix} \bar{W}_{i+1} \\ \bar{\psi}_{y,i+1} \\ \bar{M}_{xy,i+1} \\ 0 \\ 0 \\ 0 \end{bmatrix} = B \cdot \begin{bmatrix} 0 \\ \bar{\psi}_{y,i} \\ 0 \\ \bar{M}_{xy,i} \\ \bar{M}_{y,i} \\ \bar{Q}_{y,i} \end{bmatrix} = C \cdot \begin{bmatrix} 0 \\ \bar{\psi}_{y,i} \\ 0 \\ \bar{M}_{xy,i} \\ \bar{M}_{y,i} \\ \bar{Q}_{y,i} \end{bmatrix}$$

また格点では、 $\bar{M}_{xy,i} + \bar{M}_{xy,i+1} + \bar{M}_{xy,i+2} = 0$, $\bar{M}_{y,i} - \bar{M}_{y,i+1} - \bar{M}_{y,i+2} = 0$ であることを考慮し、状態量を未知数として伝達式を展開すれば、首次の連立方程式が得られ、これでストリップ表示すれば、座屈条件式が得られる。(表 2 参照) また、 $C = 0$ (片側補剛材) の場合も表 2 の破線で囲まれた部分を除いて行列式である。

3. 数値計算及び検討

2-2 得られた座屈条件式を利用して、一端単純支持、他端自由の境界条件の shear-elastic plate の自由縁に補剛材をとり付け、座屈解析を行なう。すなはち、座屈係数は、2-1 の方法と、2-2 の方法で求めた値を比較し、得られる。 λ と β として、板の板厚幅比 $\lambda = b_2/t_2$, 板厚補剛材厚比 $\delta = t_2/t_3$, 板のせん断剛性比 $\varepsilon = \frac{\pi^2}{64}(\delta s)$, 板形状比 $\alpha = a/b_p$, 板幅補剛材幅比 $\beta = b_2/b_p$, 補剛材偏心量 $\beta_{12} = b_2/b_2$ を用いられていく。(図 4 参照) 図 4 は、対称補剛材 ($\beta_{12}=1.0$)、図 5 は片側補剛材 ($\beta_{12}=0.0$) のときの座屈係数の変化をそれを示してある。通常の補剛板の場合¹⁾ と同様に、補剛材は、補剛材のねじりの影響を無視した座屈係数の上限値 ($\lambda=3.0$) まで引張として作用し、ねじりの影響の有無による座屈係数の差異はほとんどないが、 $\lambda=3.0$ を越えると、補剛材は板として作用し、座屈係数の上限値は、 $\lambda=3.15$ に達してくる。また片側補剛材の方対称補剛材に比べて座屈係数の増加が著しい。

- * 参考文献; 1) Beulwerte der dreiseitig gelenkig gelagerten Rechteckplatte, Der Stahlbau 13/1968
- 2) 関次也; 弹性線支持上のサンドイッチ板の座屈解析(1)~(2), 第32回土木学会年次学術講演会概要集 春季52年
- 3) P. Seide; Compressive buckling of sandwich plates on longitudinal elastic line supports, AIAA paper 1974

表 2 座屈条件式

$$\begin{array}{l} A_{111} A_{122} A_{133} \\ A_{221} A_{232} A_{233} \\ A_{331} A_{322} A_{333} \\ A_{551} A_{562} A_{563} \end{array} \begin{array}{l} 0 \\ 1 \\ 0 \\ 0 \end{array} = 0$$

$$\begin{array}{l} b_{42} 0 0 b_{44} b_{45} b_{46} \\ b_{52} 0 0 b_{54} b_{55} b_{56} \\ b_{62} 0 0 b_{64} b_{65} b_{66} \end{array} = 0$$

$$\begin{array}{l} C_{41} 0 0 0 0 0 C_{44} C_{45} C_{46} \\ C_{52} 0 0 0 0 0 C_{54} C_{55} C_{56} \\ C_{62} 0 0 0 0 0 C_{64} C_{65} C_{66} \end{array}$$

$$\begin{array}{r|rrr|rrr} & 1 & 0 & 1 & 0 & 0 & 1 & 0 & 0 \\ & 1 & 0 & -1 & 0 & 0 & 0 & -1 & 0 \end{array}$$

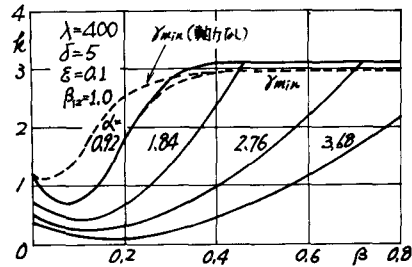


図 4 座屈係数

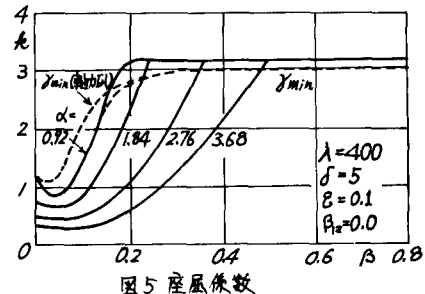


図 5 座屈係数